

УДК 531.31

© 1991 г.

Н. А. ФУФАЕВ

## ДИНАМИКА СИСТЕМЫ В ПРИМЕРЕ ПЭНЛЕВЕ — КЛЕЙНА. О ПАРАДОКСАХ ПЭНЛЕВЕ

С помощью метода разделения движений исследуется динамика системы в примере Пэнлеве — Клейна при учете вязкого трения в материале стержня, соединяющего массы, в случае, когда жесткость стержня стремится к бесконечности. Вскрывается причина парадоксов Пэнлеве.

**1. О парадоксах Пэнлеве.** Как известно П. Пэнлеве [1] указал ряд примеров, в которых закон сухого трения Кулона в сочетании с гипотезой абсолютно твердого тела приводит к парадоксам, получившим название парадоксов Пэнлеве. Суть этих парадоксов проявляется уже в простом примере Пэнлеве — Клейна<sup>1</sup>, который и рассматривается дальше.

Две точки  $M_1$  и  $M_2$  одинаковой массы  $m$ , соединенные жестким стержнем пренебрежимой массы, могут перемещаться по параллельным прямым (фиг. 1). Пусть направляющая точки  $M_2$  абсолютно гладкая, а точки  $M_1$  — шероховатая, причем коэффициент трения при движении точки  $M_1$  равен  $f$ , а в покое равен  $f_0$ . Если  $\alpha$  — угол между стержнем и осью  $x$ ;  $P$  — постоянная внешняя сила, действующая на точку  $M_1$  вдоль оси  $x$ ;  $R$  — реакция стержня, тогда сила трения  $F = \kappa R \sin \alpha$ , где  $\kappa = \pm f$ . Знак выбирается так, чтобы сила трения всегда была направлена противоположно скорости  $x_1$ . Последнее условие можно записать в виде неравенства  $F x_1 \dot{x}_1 < 0$  или

$$\kappa R x_1 \dot{x}_1 < 0 \quad (x_1 \neq 0) \quad (1.1)$$

Уравнения движения системы имеют вид

$$m x_1'' = P - R \cos \alpha + \kappa R \sin \alpha, \quad m x_2'' = R \cos \alpha \quad (1.2)$$

Условие абсолютной жесткости стержня отображается соотношением  $x_1 - x_2 = 0$ , используя которое, находим из (1.2):

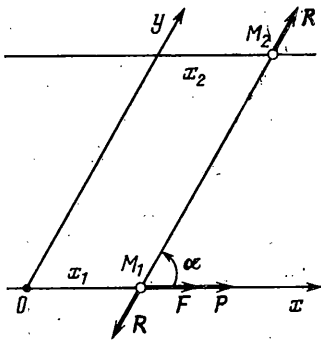
$$R = P(2 \cos \alpha - \kappa \sin \alpha)^{-1} \quad (1.3)$$

Пусть ради определенности  $P > 0$ . Рассмотрим сначала случай, когда стержень расположен «полого», т. е. выполняется неравенство  $|2 \cos \alpha| > |\kappa \sin \alpha|$ . Тогда согласно выражению (1.3) знак  $R$  не зависит от знака  $\kappa$ , и при любом знаке  $R$  всегда можно выбрать знак  $\kappa$  так, чтобы удовлетворилось неравенство (1.1). В этом случае мы получаем дифференциальные уравнения, которые при заданных начальных условиях однозначно определяют движение рассматриваемой системы.

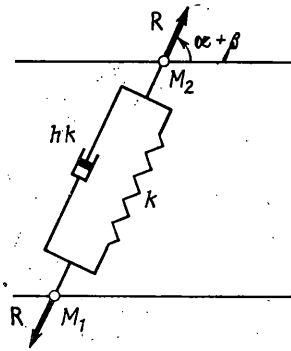
Гораздо больший интерес представляет случай «круто» поставленного стержня, когда выполняется неравенство

$$|\kappa \sin \alpha| > |2 \cos \alpha| \quad (1.4)$$

<sup>1</sup> См. [1, с. 57, 250, 264], [2 и 3].



Фиг. 1



Фиг. 2

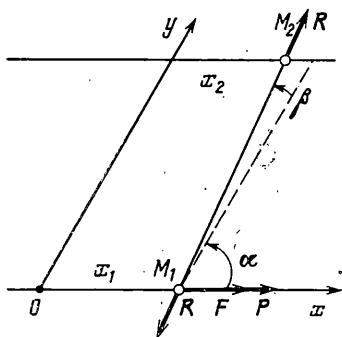
В этом случае согласно (1.3) знак  $R$  противоположен знаку  $\kappa$  независимо от знака  $\cos \alpha$ . Но тогда не может быть удовлетворено неравенство (1.4) при  $x_1 < 0$ , а при  $x_1 > 0$  оно удовлетворяется как для  $\kappa = f$ , так и для  $\kappa = -f$ , то есть получается неоднозначность. Это очевидное противоречие с основными законами механики и составляет суть парадоксов Пэнлеве.

В результате дискуссии, которая в начале этого века развернулась по поводу парадоксов Пэнлеве при участии таких выдающихся механиков как Ф. Клейн, Л. Прандтль, П. Пэнлеве, Р. Мизес, Г. Гамель и другие [1], выяснилось, что для точного представления о явлениях, происходящих в подобной механической системе, необходимо рассматривать ее как упругую. Для изучения же движений соответствующей модели абсолютно твердого тела достаточно сделать предельный переход, считая, что коэффициент упругости стремится к бесконечности.

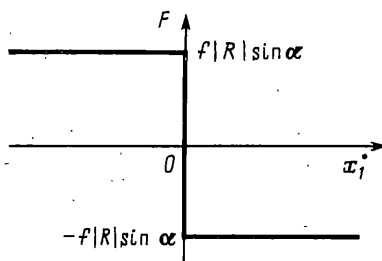
Такую программу действий для системы в примере Пэнлеве — Клейна выполнили Ф. Пфайфер [1] и Н. В. Бутенин [2], а для системы с  $n$  степенями свободы — Ле Суан Ань [3]. С помощью численного расчета Ф. Пфайфер показал, что при бесконечном возрастании коэффициента упругости стержня в случае  $x_1 < 0$  величина  $R \rightarrow \infty$ , что приводит к мгновенной остановке движения системы, а в случае  $x_1 > 0$  одно из предельных движений оказывается неустойчивым и поэтому не реализуется. Эти же результаты Н. В. Бутенин проиллюстрировал на фазовой плоскости  $RR^*$  и пришел к выводу, что можно, оставаясь верным гипотезе абсолютно твердого тела, ввести дополнительную гипотезу о мгновенной остановке движения, что также устраняет парадокс Пэнлеве.

Распространив этот подход на общий случай, когда система имеет  $n$  обобщенных координат, Ле Суан Ань [3] установил критерий возникновения парадоксов Пэнлеве, а также вывел уравнения движения системы, позволяющие судить о поведении системы в парадоксальных областях. В примере Пэнлеве — Клейна теория Ле Суан Аня приводит к результатам, совпадающим с выводами Ф. Пфайфера и Н. В. Бутенина.

Заметим, что при изучении системы в примере Пэнлеве — Клейна все вышеупомянутые авторы не учитывали диссипацию энергии в материале стержня, что в определенной степени исказило физику явления и привело к усложнению исследования. Кроме того, авторы ограничились рассмотрением лишь фазовой плоскости  $RR^*$ ; тогда как задача исследования динамики в этом примере сводится к изучению разбиения на траектории трехмерного фазового пространства  $RR^*x_1$ . Таким образом, динамика системы в целом осталась по существу не изученной. Осталась не вскрытой и причина возникновения парадоксов Пэнлеве. В самом деле, почему одна и та же математическая модель может быть в некоторой области корректной, а в парадоксальной области дефектной? Что служит признаком



Фиг. 3



Фиг. 4

дефектности «вырожденной» системы при предельном переходе от модели, учитывающей упругость стержня, к модели с жестким стержнем? Ответ на эти вопросы и позволяет получить проводимое ниже исследование динамики системы в примере Пэнлеве — Клейна.

**2. Уравнения движения упругой системы.** Составим уравнения движения рассматриваемой системы в предположении, что безмассовый стержень, соединяющий точки  $M_1$  и  $M_2$ , является упругим в продольном направлении. Кроме того, учтем рассеяние механической энергии в материале стержня при его деформации из-за наличия внутренних сил вязкого трения, представив стержень в виде пружины и демпфера (фиг. 2). Тогда согласно обозначениям на фиг. 3 уравнения динамики (1.2) запишутся в виде

$$m x_1'' = P + F - R \cos(\alpha + \beta), \quad m x_2'' = R \cos(\alpha + \beta) \quad (2.1)$$

Здесь и в дальнейшем предполагается, что  $\beta \ll 1$ , поэтому угол  $\beta$ , разность  $x_1 - x_2$  и величина  $\Delta l$  сжатия стержня связаны формулами

$$l\beta = (x_1 - x_2) \sin \alpha, \quad \Delta l = (x_1 - x_2) \cos \alpha \quad (2.2)$$

где  $l$  — длина недеформированного стержня. Сила  $R$ , с которой стержень действует на точечные массы  $M_1$  и  $M_2$ , является суммой двух сил:  $R_1$  и  $R_2$ . Сила  $R_1$  обусловлена упругостью стержня и согласно закону Гука равна  $R_1 = k\Delta l/l = kl^{-1}(x_1 - x_2) \cos \alpha$ , где  $k$  — модуль упругости. Силу  $R_2$ , возникающую из-за вязкого трения в материале стержня, выразим соотношением  $R_2 = hkd(\Delta l)/dt = hlR_1'$ , где коэффициент  $h$  следует считать постоянным, если мы хотим сохранить свойство диссипации энергии в стержне при переходе к модели с абсолютно жестким стержнем. В результате приходим к выражению

$$R = R_1 + hlR_1' \quad (2.3)$$

По смыслу величины  $R_1$  стержень сжат, если  $R_1 > 0$ , и растянут, если  $R_1 < 0$ . Вычитая второе уравнение (2.1) из первого и используя соотношение (2.2), запишем систему уравнений (2.1) в виде

$$ml(k \cos \alpha)^{-1} R_1'' = P + F - 2R \cos \alpha \quad (2.4)$$

$$m u' = P + F - R \cos \alpha \quad (u \equiv x_1')$$

В уравнениях (2.4) опущен член  $k^{-1}R_1 \operatorname{tg}^2 \alpha$ , который при  $k \rightarrow \infty$  пренебрежимо мал по сравнению с единицей, но сохранен член, содержащий малый параметр  $\sim k^{-1}$  при старшей производной.

Допустим сначала, что силы сухого трения подчиняются закону Кулона — Амонтона (фиг. 4), т. е.  $f_0 = f$ . Поскольку сила  $F$  зависит от переменной  $u \equiv x_1'$ , а переменная  $R$  определяется выражением (2.3), система

дифференциальных уравнений (2.4) описывает движение изображающей точки в трехмерном фазовом пространстве  $\Phi(R_1, R_1^*, u)$ . Согласно графику на фиг. 4 плоскость  $u=0$  разделяет фазовое пространство  $\Phi$  на две области:  $\Phi_+(u>0)$  и  $\Phi_-(u<0)$ , где уравнения движения имеют вид

$$ml(k \cos \alpha)^{-1} R_1^{**} + f|R| \sin \alpha + 2R \cos \alpha = P$$

$$mu^* = P - f|R| \sin \alpha - R \cos \alpha \quad (u > 0)$$
(2.5)

В области  $\Phi_-(u < 0)$  уравнения движения получаются из (2.5) путем замены  $f$  на  $-f$ . Движение изображающей точки на плоскости  $\Pi(u=0)$  описывается уравнением

$$ml(k \cos \alpha)^{-1} R_1^{**} + R \cos \alpha = 0$$
(2.6)

которое получается из (2.4) после подстановки  $u = u^* = 0$  и исключения неизвестной  $F$  [4].

Пусть  $\cos \alpha > 0$ , что не ограничивает общности, и выполняется неравенство (1.4). Введем безразмерные величины  $\tau = t(hl)^{-1}$ ,  $\rho = R_1 P^{-1} \cos \alpha$ ,  $x_0 = m P^{-1} (hl)^{-2} x$ ,  $v = m (Phl)^{-1} u$ ,  $\mu = m (kl)^{-1} (h \cos \alpha)^{-2}$ ,  $\sigma = f \operatorname{tg} \alpha - 2$ , в которых уравнения движения принимают наиболее простой вид

$$\mu \rho^{**} + (\sigma + 4)(\rho + \rho^*) = 1, \quad v^* = 1 - (\sigma + 3)(\rho + \rho^*)$$
(2.7)

$$\mu \rho^{**} - \sigma(\rho + \rho^*) = 1, \quad v^* = 1 + (\sigma + 1)(\rho + \rho^*)$$
(2.8)

$$\mu \rho^{**} + \rho^* + \rho = 0, \quad v = 0$$
(2.9)

Здесь (2.7) обозначает область в фазовом пространстве  $\Phi(\rho, \rho^*, v)$ , в которой знаки переменных  $\rho + \rho^*$ ,  $v$  одинаковы, а (2.8) — область, в которой знаки  $\rho + \rho^*$ ,  $v$  разные. В уравнениях (2.7)–(2.9) и далее точка над буквой обозначает производную по безразмерному времени  $\tau$ . Из этих уравнений следует, что величина положительного параметра  $\sigma$  не влияет на качественное поведение рассматриваемой системы, поэтому эти уравнения достаточно рассмотреть для какого-нибудь одного значения  $\sigma$ , например  $\sigma = 1$ . В этом случае, обозначая  $x = \rho$ ,  $y = \rho^*$ ,  $z = v$ , получим следующую систему дифференциальных уравнений

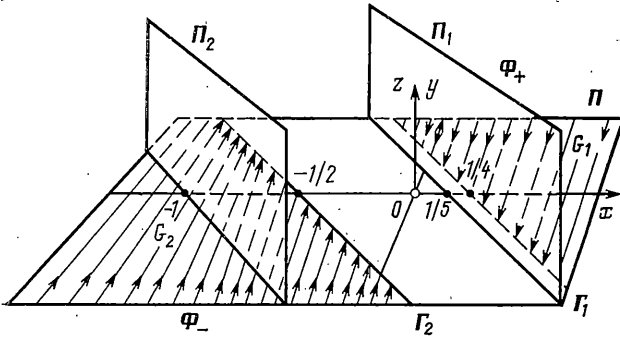
$$x^* = y, \quad \mu y^* = 1 - 5x - 5y, \quad z^* = 1 - 4x - 4y$$
(2.10)

$$x^* = y, \quad \mu y^* = 1 + x + y, \quad z^* = 1 + 2x + 2y$$
(2.11)

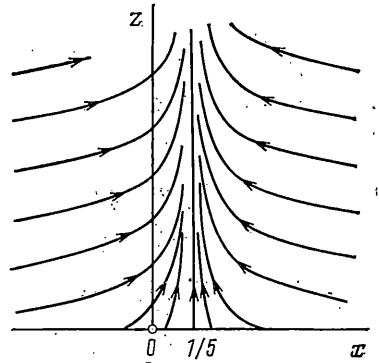
$$x^* = y, \quad \mu y^* = -x - y, \quad z = 0$$
(2.12)

Задача состоит в изучении решения уравнений (2.8)–(2.10) при исчезающих малых значениях параметра  $\mu \rightarrow 0$ .

**3. Разбиение фазового пространства на траектории.** Рассмотрим структуру фазового пространства  $\Phi(x, y, z)$ . Плоскости  $z=0$  и  $x+y=0$  разбивают его на четыре области:  $O_1(x+y>0, z>0)$ ,  $O_2(x+y<0, z>0)$ ,  $O_3(x+y<0, z<0)$  и  $O_4(x+y>0, z<0)$ . Движение изображающей точки в областях  $O_1$  и  $O_3$  описывается уравнениями (2.10), в областях  $O_2$  и  $O_4$  — уравнениями (2.11), а на плоскости  $\Pi(z=0)$  — уравнениями (2.12). Рассматриваемая система является системой с неударживающими кинематическими связями, поэтому согласно теории, изложенной в работе [4], уравнения (2.12) описывают движение изображающей точки не на всей плоскости  $z=0$ , а лишь в области  $G$ , которая является устойчивой относительно отклонений изображающей точки от плоскости  $\Pi(z=0)$ . Граница  $\Gamma$  области  $G$  находится из условия  $z^*=0$ . Из последних уравнений (2.10) и (2.11) следует, что при  $\mu \rightarrow 0$  областью  $G$  является полуплоскость  $G_1(z=0, x+y > 1/4)$  и полуплоскость  $G_2(z=0, x+y < -1/2)$ . Второе уравнение (2.12)



Фиг. 5



Фиг. 6

содержит малый параметр  $\mu$  при старшей производной, следовательно, при  $\mu \rightarrow 0$  вся плоскость  $\Pi$  оказывается областью быстрых движений по переменной  $y$ , за исключением прямой  $x+y=0$ , которая является областью медленных движений. Однако прямая  $x+y=0$  лежит вне областей  $G_1$  и  $G_2$ , где могло бы реализоваться это движение, поэтому области  $G_1$  и  $G_2$  на плоскости  $\Pi$  заполнены траекториями лишь быстрых движений. Попав в область  $G_1$  (или  $G_2$ ), изображающая точка при  $\mu \rightarrow 0$  совершает скачок на границу  $\Gamma_1$  (или соответственно  $\Gamma_2$ ), после чего переходит в полупространство  $\Phi_+$  (см. фиг. 5).

Согласно второму уравнению (2.10) область  $O_1$  полупространства  $\Phi_+$  при  $\mu \rightarrow 0$  оказывается заполненной траекториями быстрых движений по переменной  $y$ , за исключением полуплоскости  $\Pi_1$  ( $5x+5y=1, z>0$ ), которая является областью медленных движений, устойчивых относительно быстрых движений, т. е. относительно отклонений изображающей точки от этой плоскости. Траектории медленных движений на полуплоскости  $\Pi_1$  — это семейство интегральных кривых  $z = -1/5 \ln |1-5x| + C$  и полупрямая ( $x=1/5, y=0, z>0$ ), к которой асимптотически приближается изображающая точка при своем движении на полуплоскости  $\Pi_1$  (фиг. 6).

Согласно второму уравнению (2.11) область  $O_2$  пространства  $\Phi_+$  также заполнена траекториями быстрых движений по переменной  $y$ , за исключением полуплоскости  $\Pi_2$  ( $x+y=-1, z>0$ ), которая оказывается неустойчивой относительно быстрых движений и по существу является лишь границей, разделяющей быстрые движения по направлению.

Все фазовое полупространство  $\Phi_-$  заполнено траекториями быстрых движений. При любых начальных условиях в этой области изображающая точка при  $\mu \rightarrow 0$  совершает скачок в положительном направлении оси  $y$  и в соответствии с последними уравнениями (2.10) и (2.14) неизбежно попадает на плоскость  $\Pi$  в область  $G_1$ . После этого изображающая точка совершает скачок на границу  $\Gamma_1$ , затем скачок на полуплоскость медленных движений  $\Pi_1$ , где и завершает движение по одной из траекторий, асимптотически приближаясь к прямой ( $x=1/5, y=0$ ). Если в начальный момент времени изображающая точка находится в области  $O_5$  ( $x+y>-1, z>0$ ), то она сразу совершает скачок на плоскость  $\Pi_1$ , где продолжает перемещаться по одной из траекторий медленного движения. Наконец, если вначале изображающая точка находилась в области  $O_6$  ( $x+y<-1, z>0$ ), то она совершает скачок в направлении отрицательных значений  $y$ , затем попадает на плоскость  $\Pi$  в область  $G_2$ , совершает в плоскости  $\Pi$  скачок в положительном направлении  $y$  до встречи с границей  $\Gamma_2$ , после чего выходит в полупространство  $\Phi_+$ , совершает скачок на полуплоскость  $\Pi_1$ , где и перемещается по одной из траекторий медленного движения.

Таким образом, при любых начальных условиях система приходит к финальному движению с постоянным ускорением в направлении приложенной постоянной силы.

К тем же результатам приводит и рассмотрение динамики системы в примере Пэнлеве — Клейна, если отказаться от сделанного предположения о равенстве коэффициентов  $f$  и  $f_0$ . Пусть  $f_0 > f$ . Проводя аналогичное исследование этого случая, нетрудно убедиться в том, что для движений изображающей точки в полупространствах  $\Phi_+$  и  $\Phi_-$  структура фазового пространства  $\Phi$  остается такой же, какой она показана на фиг. 5. Но для движений изображающей точки на плоскости  $\Pi$  границы  $\Gamma_1'$  и  $\Gamma_2'$  смещаются на некоторое расстояние, зависящее от  $f_0$ . При этом ширина полосы между областями  $G_1$  и  $G_2$  уменьшается. Однако эти изменения не оказывают существенного влияния на качественное поведение системы.

Рассмотрим теперь фазовый портрет той же системы в случае «полого» поставленного стержня, когда  $\sigma < 0$  и парадоксы Пэнлеве отсутствуют. Пусть по-прежнему  $0 < \alpha < \pi/2$ , т. е.  $\cos \alpha > 0$ , но значение параметра  $\sigma$  заключено в интервале  $-2 < \sigma < 0$ . Из уравнений (2.7) — (2.9) следует, что в этом случае полуплоскость  $\Pi_2$  располагается в полупространстве  $\Phi_-$  и оказывается устойчивой относительно быстрых движений. Вместе с полуплоскостью  $\Pi_1$  она образует устойчивое многообразие медленных движений. При любых начальных условиях в полупространстве  $\Phi_-$  изображающая точка совершает скачок на плоскость  $\Pi_2$ , движется на ней по одной из траекторий медленного движения и, дойдя до плоскости  $\Pi$  ( $z = 0$ ), совершает скачок на полуплоскость  $\Pi_1$ , где и завершает движение, асимптотически приближаясь к прямой ( $x = 1/5, y = 0$ ).

В заключение отметим следующее. Исследование динамики системы в примере Пэнлеве — Клейна показывает, что предложенный способ учета рассеяния энергии в материале стержня не только приводит к своеобразной регуляризации уравнений движения, позволяя использовать метод разделения движений, но и помогает понять причину возникновения парадоксов Пэнлеве. В самом деле, в фазовом пространстве  $\Phi$  упругой системы при  $\mu \rightarrow 0$  появляются плоскости медленных движений, которые представляют фазовое пространство соответствующей «вырожденной» системы, т. е. системы с абсолютно жестким стержнем. В случае полого поставленного стержня плоскости медленных движений в фазовом пространстве  $\Phi$  оказываются устойчивыми относительно быстрых движений, поэтому быстрое движение для такой системы не является существенным. В случае же круто поставленного стержня, когда  $\sigma > 0$ , в фазовом полупространстве  $\Phi_+$  наряду с устойчивой полуплоскостью  $\Pi_1$  имеется полуплоскость  $\Pi_2$ , неустойчивая относительно быстрых движений, а в полупространстве  $\Phi_-$  плоскость медленных движений вообще отсутствует. Эта особенность структуры фазового пространства и приводит к тому, что в этом случае для вырожденной системы в области  $x_1' > 0$  получаем двойственность, а в области  $x_1' < 0$  — отсутствие движения.

Таким образом, в случае  $\sigma > 0$  при переходе к вырожденной системе быстрые движения оказываются существенными, и пренебрежение этими движениями приводит к дефектной математической модели.

В этом и заключается причина парадоксов Пэнлеве.

#### СПИСОК ЛИТЕРАТУРЫ

1. Пэнлеве П. Лекции о трении. М.: Гостехиздат. 1954. 316 с.
2. Бугеинь Н. В. Рассмотрение «вырожденных» динамических систем с помощью гипотезы «скачка» // ПММ. 1948. Т. 12. Вып. 1. С. 3—22.
3. Ле Суан Ань. О парадоксах Пэнлеве в системах с кулоновым трением // Тр. Ленингр. политехн. ин-та, 1988. № 425. С. 91—97.
4. Фуфаев Н. А. Теория движения систем с качением // ПММ. 1985. Т. 49. Вып. 1. С. 56—65.

Горький

Поступила в редакцию  
29.1.1990